

ВЛИЯНИЕ УСЛОВИЙ ИЗМЕРЕНИЙ НА АНОМАЛЬНЫЙ ЭФФЕКТ ХОЛЛА В *p*-InAs

Андерсен Г. Ю., Гусев О. К., Зайтов Ф. А.,
Киреенко В. П., Яржембицкий В. Б.

Исследована зависимость ЭДС Холла в кристаллах *p*-InAs ($p_0 \sim 1.1 \cdot 10^{17} \text{ см}^{-3}$) с инверсионными каналами на поверхности от температуры, величины тока и расстояния между холловскими и токовыми контактами. Показано, что пропускание электрического тока через токовые контакты сопровождается электрическим пробоем перехода канал—объем кристалла и стабилизацией измеряемой «аномальной» ЭДС Холла в широком диапазоне токов. Показана возможность неразрушающего одновременного контроля параметров поверхностного канала и объема кристалла.

Известно [1], что идентификация параметров полупроводниковых материалов, характеризующихся отклонением температурной зависимости ЭДС Холла от классической, осложняется неоднозначностью интерпретации аномального эффекта Холла. Это связано с адекватностью проявления гальваномагнитных эффектов при смещенной проводимости и проводимости в слоистых структурах.

Применительно к аномальному эффекту Холла в *p*-InAs [2] ранее было показано, что аномалии, заключающиеся в двойной смене знака ЭДС Холла с температурой, вызваны наличием на гранях кристалла инверсионного канала *n*-типа проводимости [3]. Высокое сопротивление перехода инверсионный канал—объем кристалла приводит к преобладанию в измеряемой при низкой температуре ЭДС поверхностной компоненты отрицательного знака, а повышение температуры измерений вызывает перераспределение вкладов поверхности и объема с инверсией знака ЭДС Холла на классический положительный. Для количественной интерпретации холловских кривых в этом случае необходимо знание параметров одного из двух слоев — поверхностного или объемного. Это достигается путем удаления поверхностного слоя (например, травлением) либо путем использования для анализа низкотемпературной области, в которой ЭДС Холла, как считается [2], определяется поверхностным слоем.

Вместе с тем при анализе параметров *p*-InAs и барьерных структур на его основе при воздействии различных технологических и эксплуатационных факторов возникает вопрос одновременного неразрушающего контроля объемных и поверхностных параметров материала и кинетики их измерений в процессе внешних воздействий.

В этой работе приведены данные, позволяющие уточнить механизм формирования аномального эффекта Холла в *p*-InAs и конкретизировать режимы измерений, позволяющие решить поставленную задачу.

Исследовались кристаллы *p*-InAs ($p_0 \sim 1.1 \cdot 10^{17} \text{ см}^{-3}$) в виде параллелепипедов с размерами $1.2 \times 0.3 \times 0.05$ см, грани которых механически полировались алмазной пастой и кипятились в изопропиловом спирте. В качестве токовых kontaktов использовался индий, нанесенный низкотемпературной пайкой, а холловскими kontaktами служили прижимные бронзовые зонды. Kontaktы припаивались к торцевым граням кристалла, причем расстояние Δx между положительно смещенным токовым и холловскими kontaktами варьировалось в пределах длины кристалла.

На рис. 1 представлены температурные зависимости ЭДС Холла U_H при различных величинах тока через кристалл и $\Delta x=0.4$ см. Видно, что в зависимости от тока кривые $U_H(T)$ для одного кристалла существенно различаются. При малых токах (до 3 мА) ЭДС Холла отрицательна во всем исследованном диапазоне температур (кривые 1—4). При значениях тока > 70 мА ЭДС Холла положительна (кривые 8, 9), а в промежуточной области токов кривые $U_H(T)$ характеризуются изменением знака ЭДС с отрицательного при низкой на положительный при более высокой температуре (кривые 5—7). Отметим, что аномальная низкотемпературная инверсия знака ЭДС Холла может происходить в широком интервале температур (77–180 К).

На рис. 2 приведена зависимость ЭДС Холла от величины тока I через образец при температуре 77 К и различных расстояниях Δx (кривые 1—7). Прямая

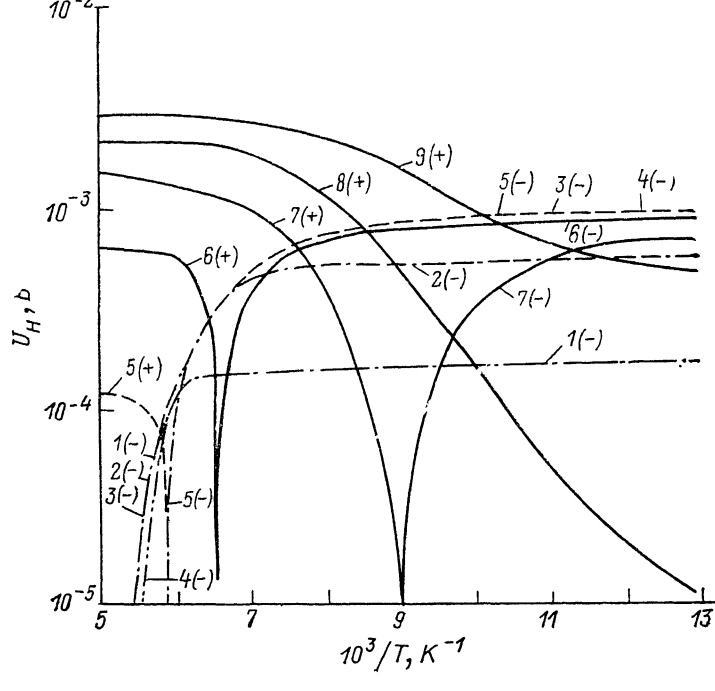


Рис. 1. Температурная зависимость ЭДС Холла при различных значениях тока I через образец.

I , мкА: 1 — 14, 2 — 50, 3 — 150; I , мА: 4 — 1.2, 5 — 3, 6 — 20, 7 — 50, 8 — 70, 9 — 100.

8 характеризует зависимость $U_H(I)$ при комнатной температуре. Для упрощения анализа за счет исключения влияния шунтирования токовыми контактами, уменьшающего величину ЭДС Холла, данные на рис. 2 получены путем умножения экспериментально измеренных величин ЭДС Холла на поправочные множители [1], приводящие результаты измерений к случаю «длинного» образца.

Из рис. 2 видно, что в области малых значений пропускаемого через образец электрического тока наблюдается линейная связь между измеряемой аномальной (имеющей отрицательный знак) ЭДС Холла и величиной тока. При достижении током ~ 100 мкА (обозначим его I_0) происходит стабилизация величины U_H , которая практически не меняется при варьировании электрического тока на 1–3 порядка. Дальнейшее увеличение тока приводит к спаду ЭДС Холла, а при токе, который обозначим I_0 , наблюдается изменение знака с отрицательного на положительный. В дальнейшем происходит асимптотическое приближение кривой $U_H(I)$, соответствующей низкотемпературным измерениям, к прямой линии, соответствующей данным, полученным при комнатной температуре.

Изменение Δx , как следует из рис. 2, не влияет на значение U_H на линейном участке при токе $I < I_0$ и в области стабилизации: Вместе с тем увеличение Δx

приводит к возрастанию тока I_0 , которое можно аппроксимировать эмпирической зависимостью

$$I_0 = 1.36 \cdot 10^{-1} \frac{\Delta x}{1.2 - \Delta x}. \quad (1)$$

Таким образом, кроме отмечавшейся в литературе аномальной температурной инверсии знака U_H [1, 2], наблюдаются токовая инверсия знака при низкой температуре, а также протяженная область значений тока со стабилизированной ЭДС Холла. Принимая во внимание связь аномального эффекта Холла с инверсионным каналом на поверхности p -InAs, сделаем заключение, что при величинах тока $I > I_c$ происходит стабилизация компоненты тока, протекающего через канал, за счет электрического пробоя перехода канал—объем p -InAs в области положительно смещенного токового контакта.

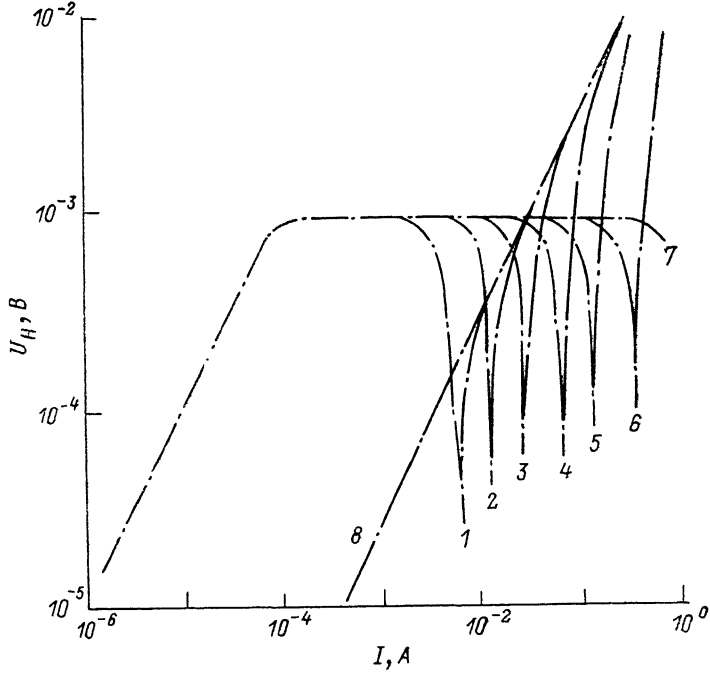


Рис. 2. Зависимость ЭДС Холла от величины электрического тока через образец. Δx , см: 1 — $5 \cdot 10^{-2}$, 2 — 10^{-1} , 3 — $2 \cdot 10^{-1}$, 4 — $4 \cdot 10^{-1}$, 5 — $6 \cdot 10^{-1}$, 6 — $8 \cdot 10^{-1}$, 7 — 1.0.

Легко показать, что при $I > I_c$ зависимость падения напряжения между инверсионным каналом и объемом p -InAs от расстояния до положительно смещенного токового контакта x имеет вид

$$U(x) = (IR_g - I_c R_g + U_{\text{пор}})(1 - x/l), \quad (2)$$

где $U_{\text{пор}}$ — пороговое напряжение пробоя перехода, R_g — динамическое сопротивление перехода в области пробоя, l — расстояние между токовыми контактами. Отсюда условие электрического пробоя перехода имеет вид

$$x = (I - I_c) \frac{R_g l}{U_{\text{пор}} + IR_g}. \quad (3)$$

Из (3) следует, что фронт области электрического пробоя с увеличением тока движется вдоль кристалла в направлении к отрицательно смещенному токовому контакту.

При достижении фронтом пробоя холловских контактов сопротивление перехода канал—объем p -InAs резко падает и основной вклад в экспериментально измеряемую ЭДС Холла дает область с меньшим сопротивлением, т. е. объем

кристалла. В результате ЭДС Холла меняет знак на положительный, U_H асимптотически приближается к объемному значению.

Учитывая то, что при токовой инверсии знака ЭДС Холла $I \gg I_c$, получим из (3)

$$I_0 = \frac{U_{np}}{R_g} \frac{\Delta x}{l - \Delta x}. \quad (4)$$

Это согласуется с эмпирическим выражением (1) и подтверждает заключение об электрическом пробое поверхностного перехода.

Представленные результаты свидетельствуют о том, что характер температурной зависимости $U_H(T)$ в отличие от приведенной в [1, 2] не определяется однозначно соотношением объемных и поверхностных параметров кристалла. Отсутствие температурной инверсии знака U_H на кривых $U_H(T)$ при больших токах (рис. 1, кривые 8, 9) обусловлено тем, что сопротивление поверхностного перехода вблизи холловских зондов мало при всех температурах из-за их попадания в область пробоя и знак ЭДС Холла определяется объемной составляющей. Отсутствие температурной инверсии знака ЭДС при малых токах (рис. 1, кривые 1, 4) связано с тем, что объемная компонента ЭДС Холла мала и не регистрируется экспериментально (см. аппроксимацию прямой 8 на рис. 2 в область малых токов). Вид зависимости ЭДС Холла на кривых 5—7 определяется температурной зависимостью не столько параметров поверхности и объема, сколько характеристик пробоя поверхностного перехода канал—объем p -InAs, что делает зависимость $U_H(T)$ чрезвычайно сложной для анализа.

В результате можно сделать следующие выводы.

1. Зависимость аномальной ЭДС Холла от величины тока и положения холловских зондов может служить критерием поверхностной природы аномалий.

2. Зондовые измерения аномального эффекта Холла в p -InAs сопровождаются электрическим пробоем перехода инверсионный канал—объем p -InAs, приводящим к стабилизации аномальной ЭДС Холла.

3. Неразрушающий контроль концентрации и подвижности носителей заряда в объеме и на поверхности p -InAs возможен с использованием линейных участков положительного и отрицательного знаков соответственно на токовой зависимости ЭДС Холла при низких температурах.

С п и с о к л и т е р а т у р ы

- [1] Кучис Е. В. Гальваномагнитные эффекты и методы их исследования. М., 1990. 264 с.
- [2] Воронков В. В., Соловьев Е. В., Иглицын М. И., Пивоваров М. Н. // ФТП. 1968. Т. 2. В. 7. С. 1800—1808.
- [3] Гусев О. К., Киреенко В. П., Ломтев А. А., Яржембицкий В. Б. // ФТП. 1983. Т. 17. В. 6. С. 1153—1155.

Научно-техническое объединение
«Политехник»
Минск

Получена 11.02.1991
Принята к печати 28.06.1991